

PCゲルバー桁ヒンジ部の応力解析と補強法

京都大学工学部 正食 岡田 清
神戸大学工学部 正食・藤井 学

§1. まえがき

コンクリート構造のゲルバーヒンジ部では、断面の急変によく応力集中、コンクリートの不均等収縮あるいは温度の不均等分布などによく局部応力が誘起されため、ひびわれ発生の可能性が少なくない。ヒンジ部の合理的設計法確立のためには、ヒンジ部の応力解析と有効な補強法の研究が必要であり、一連の研究を実施しているが、阪神高速道路神戸・西宮線に建設中のPCゲルバー桁を対象とした模型はりの静的および疲労試験結果はすでに報告した¹⁾。こゝでは、ヒンジ部応力における主張張筋(後方 P_1, P'_1, P_2)、ヒンジ部補強用緊張筋(P_3)の作用位置、作用方向、支承反力(R)の作用位置等の影響を更に詳細に調べるために、有限要素法により数値解析を行なへ、この結果と無筋供試体の載荷試験結果とを用ひ、ひびわれ荷重算定式を誘導し、之の模型はりの実験値と比較検討したが、その概要を報告する。

§2. 供試体および載荷の種類

計算対象疲労試験を図-1に示す。ハンチの大きさは $3 \times 3 \text{ cm}^2$ で、 $\delta = 45^\circ$ とした。載荷状態の種類は 15 種で、その調査目的を表-1に併記した。有限要素は三角形要素とし、その数は 291 倍、節点数 170 倍であり、ハンチ隅角部はとくに小三角形に分割し応力集中の程度が弱まるよう配慮した。表-1での支承反力 $R = 17.2$ 、主張筋 $P_1 = P'_1 = P_2 = 13.3$ は実橋荷重を模型はりに換算した値である。 P_3 鋼筋は、図-1に示すよう $l_3 = 45 \text{ cm}$ となるようにし、偏角由来化させた。

§3. 計算結果

表-1に示す 15 種類の荷重状態に対する各種応力の計算結果次のようなる定性的事実が明瞭かとなった。

1) 荷重状態 NO.1 ~ NO.5; NO.1, NO.2 では張角部に引張応力が発生し、NO.4, NO.5 では圧縮応力が発生する。
NO.3 では、 R に ± 3 引張応力と PC 鋼筋に ± 3 プレストレスが相殺する状態となる。

2) 荷重状態 NO.6 ~ NO.7: 反力が張用していよいよ状態であるため、隅角部にかなり大きなプレストレスが導入され

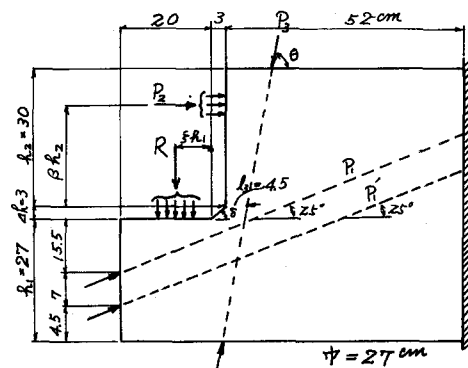


図-1 計算対象供試体

表-1 載荷状態の種類 (単位 ton)

荷重状態 NO.	反力 R	主張張筋 P_1	主張張筋 P'_1	主張張筋 P_2	P_3 の傾斜角 θ	載荷位置	調査目的
1	17.2	13.3	"	13.3	"		R & 3.3m 後の載荷 位置はも う少し 小さく おそれ る影響 と同じ
2	"	"	"	"	13.3	13.3	合成応 力の大さ きの影 響
3	"	"	"	"	"	13.3	より少 なく おそれ る影 響
4	"	"	"	"	"	19.8	より少 なく おそれ る影 響
5	"	"	"	"	"		
6		13.3	13.3	13.3	19.8	19.8	P_3 は 10 と アレストレ ー同じ 大きさ
7		"	"	"			アレストレ ーの大き さ
8		12.3					図-1 参照 R の作用 位置
9				13.3			
10				13.3			
11				13.3			$\beta = 0.833$ β の影 響
12				13.3			0.708
13	17.2						0.583
14	17.2						$\beta = 0.299$ β の影 響
15	17.2						0.382
							0.474

であり、過大ひびき入力はコンクリートの圧強度の莫大さを望しくない。N0.1～N0.7の状態では、Bの傾斜角θはθ=60°の場合補強筋は最も大きい。

3)荷重状態N0.8～N0.9：主張筋材P₁, P_{1'}によっての隅角部には相應量の圧縮応力が生じ、隅角部補強に役立つおり、その効果は、ハンチに近く配置置かれていたP₁鋼材の方が大きである。

4)荷重状態N0.10～N0.12：主張筋材P₂の作用位置の影響を調べるために、β(図-1)が大きくなるとB奥での引張応力は大きくなる。しかし、C奥にはほとんど応力は発生しない。

5)荷重状態N0.13～N0.15：支承反力Rの作用位置の影響を調べるためにもので、δ(図-1)が大きくなると、δの増加とともにBおよびC奥の引張応力は増大する。

3.4. 隅角部の主応力

PC部材の場合、載荷によってひびわれは一様にハンチ端のBあるいはC奥(図-2)より生ずる。この計算式を得るために、各荷重によるとB, C奥の主応力を求めておく。数値計算の解析結果以下の式を得た。

1) 支承反力Rの場合(引張)

$$\text{基準応力 } B\text{奥: } \sigma_{R0} = \frac{6R(l+\alpha b)}{b(R_1+\alpha b)^2}, \quad C\text{奥: } \sigma_{R0} = \frac{6Rl}{bR^2}$$

$$\text{応力集中係数 } B\text{奥: } \alpha_R = 0.566/\beta + 1.460, \quad C\text{奥: } \alpha_R = 0.866/\beta + 1.544, \quad \Rightarrow l = 3h_1, \quad b = \text{供試体}$$

2) 水平PC鋼材P₂の場合(引張)

$$\text{基準応力 } B\text{奥: } \sigma_{P2}^0 = P_2/b \cdot H, \quad C\text{奥: } \sigma_{P2}^0 = P_2/b \cdot H$$

$$\text{応力集中係数 } B\text{奥: } \alpha_{P2} = 1.350\beta + 0.460, \quad C\text{奥: } \alpha_{P2} = 0, \quad \Rightarrow H = \text{供試体の全高}$$

3) 傾斜45°PC鋼材P₁(P₁, P_{1'}, P₃)の場合(圧縮)

$$\text{基準応力 } B\text{奥: } \sigma_{P1}^0 = P_1 \cos \phi (1 + \frac{3(f-e)}{f+e}) / b(f+e), \quad C\text{奥: } B\text{奥と同一式}$$

$$\text{応力集中係数 } B\text{奥: } \alpha_{P1} = 1.250 + 0.640 \cos^2 \theta, \quad C\text{奥: } \alpha_{P1} = 0.750 + 1.730 \cos \theta \quad (\text{図-2 参照})$$

3.5 ひびわれ荷重計算式

ハンチのBおよびC奥の主応力は基準応力に応力集中係数を乗じて得られる。いまハンチ部の主応力は重ね合せができるものと仮定し、各荷重の合成主応力の引張応力の値が、コンクリートの曲げ強度の1倍になつたときにひびわれが発生するものと仮定する。従つてひびわれ発生時の支承反力Rは次式により求めることができること。

$$\sum \alpha_{Pi} \sigma_{Pi}^0 + \alpha_b \sigma_b - \alpha_{P3} \sigma_{P3}^0 - \alpha_R \sigma_{R0} = 0$$

上式の第1項は斜め鋼材が複数ある場合はその累加を示し、σ_bはコンクリートの曲げ強度である。また、後の項は、直線ハンチを有するモルタル供試体による載荷実験の結果より、B奥: α_b=1.4, C奥: α_b=1.8の値を得た。

之を行なつたPCはり模型はり(12種類)の静的載荷実験によるひびわれ荷重実験値と上記方法による計算値との比較の結果、α_b=1と仮定の場合、実験値に対する計算値の比γ=0.864となり、標準偏差σ=0.076となつた。また上記のように他の修正係数を用いた場合、γ=0.980, σ=0.078となり、高精度でひびわれ荷重が算定できることが明らかとなつた。なお、上記計算式の妥当性の検討と同式の一般化のため、ハンチの形状、寸法、PC鋼材の作用位置、支承反力の集中度の影響につき、現在詳細な検討を行なつており、その結果は逐つて報告したい。

参考文献 1)岡田・藤井: PCゲルバー軸ヒンジ部構造について、PC技術協会、第9回年次会議概要、1969. 9.

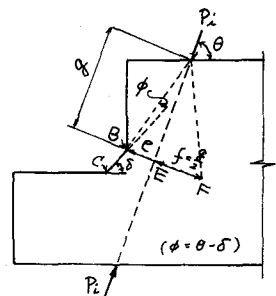


図-2 P₁による基準応力を求めたための仮定説明図